冷却原子系を用いた 量子シミュレーション: 格子場の理論に対する 新奇シミュレーション技術の 現状と未来

名工大:一瀬 郁夫 2013年8月27日 「熱場の量子論とその応用」

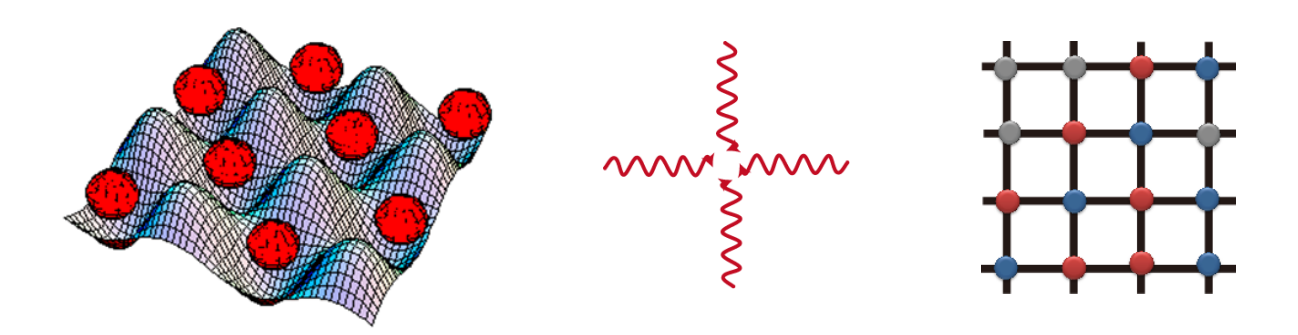
1. Introduction

- 量子シミュレーションとは
- ★物理的に興味のある量子系に対して、<u>疑似的かつ</u>制御可能、汎用性のある量子系を実験的に作り、 その動力学を調べること。
- ☆格子ゲージ理論、強相関電子系などに対して 現在実行されている古典シミュレーションを補い、 新たな知見を与えると期待される。
- ☆これまでacademic な興味で調べられて来た場の理論 モデルを現実の実験系で実現できる。

量子シミュレーションを実現する 量子系はあるのか?



極低温原子系



レザーを使い、**光学格子に原子をトラップする** 格子の次元、形状を自在に変えられる

原子と``素粒子"

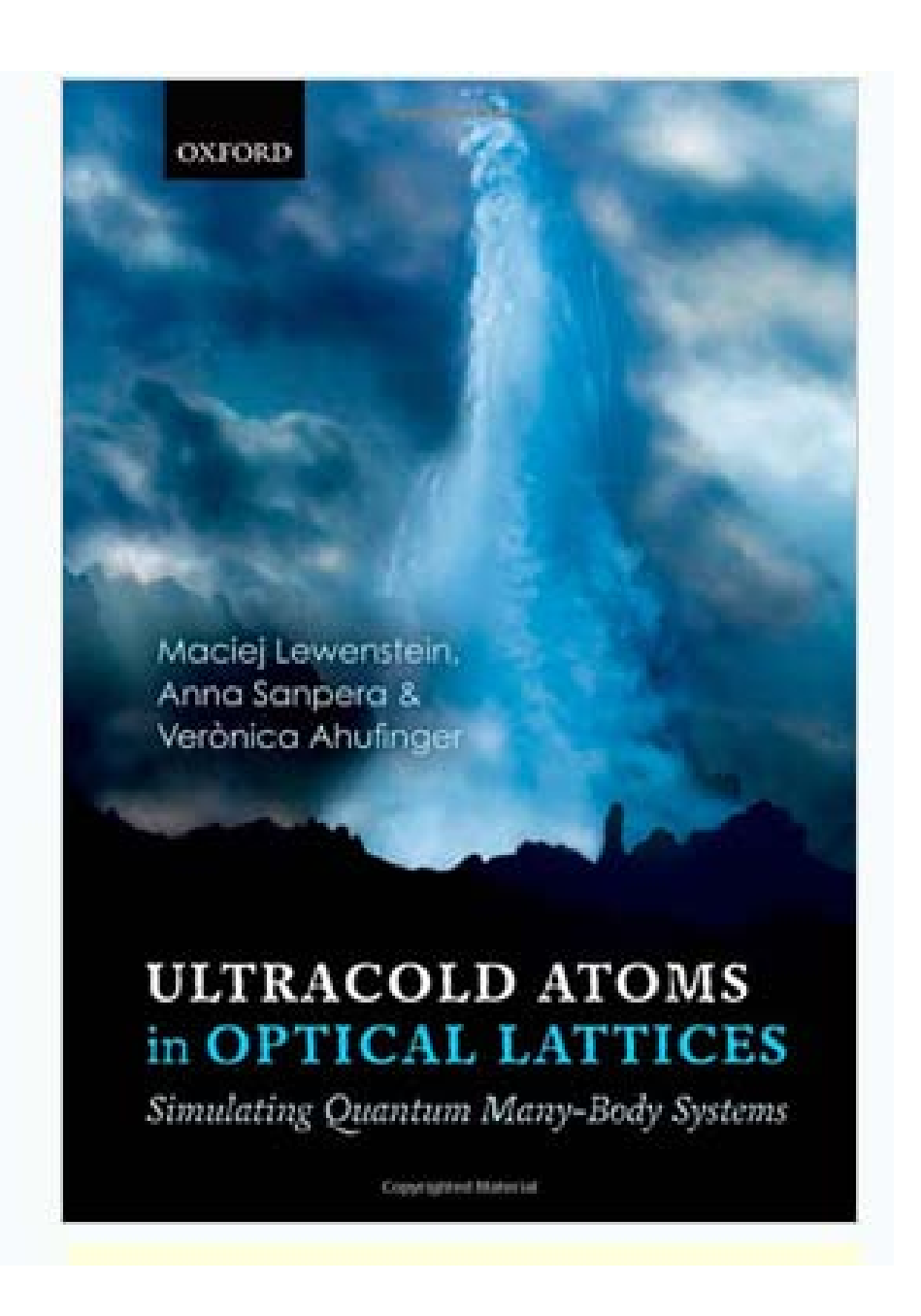
☆原子は内部構造を持つ

 1) a + b → a* + b* : ``別な粒子"に変化 内部状態が異なると、別の光学ポテンシャルを感じる → 質量が変化した

$$a+b
ightarrow a^* + b^*(res.)
ightarrow a+b$$

相互作用を自在にコントロール (Feshbach 共鳴)

3) $a_{\alpha} \to a^* \to a_{\beta}$ laser-assisted tunneling サイト リンク サイト $\alpha, \ \beta = \mathrm{spin} \ z\text{-comp}.$



2012 年

今日の講演のプラン

- 1. Introduction
- 2. SU(N) AF spin モデルと \mathbb{CP}^{N-1} シグマモデル 大きなスピンをもつfermion 系 1/N -展開の正当性の実験的検証
- 3. Schwinger model(QED_2) \succeq quantum link model Local gauge inv. , Composite gauge field
- 4. 格子ゲージ理論: Gauge-Higgs モデル
 BEC モデル、Local gauge inv. の破れとHiggs 場
- 5. まとめと将来の展望

SU(N)スピンモデルの有効場理論とその相構造

Y.Qi and C.Xu, Phys. Rev. B 78, 014410 (2008)

K. Kataoka, S.Hattori & I.I., Phys.Rev.B83, 17449 (2011)

SU(N) Heisenberg model

S=3/2 fermionを光学格子にトラップ、各格子点に1個ずつ配置

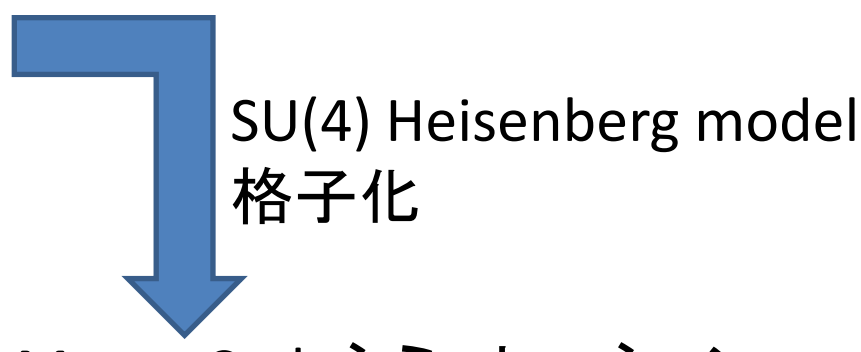
極低温原子系で実現 $^{132}\mathrm{Cs},^{9}\mathrm{Be},^{135}\mathrm{Ba},^{137}\mathrm{Ba},^{201}\mathrm{Hg},\cdots$



T=0の(2+1)次元量子系を記述する 有効場理論の導出(連続理論)



1/N-展開法による 相構造の決定



Monte Carloシミュレーション による相構造の決定

場の量子論の手法である1/N展開法の正当性を 実験によって確かめることができる

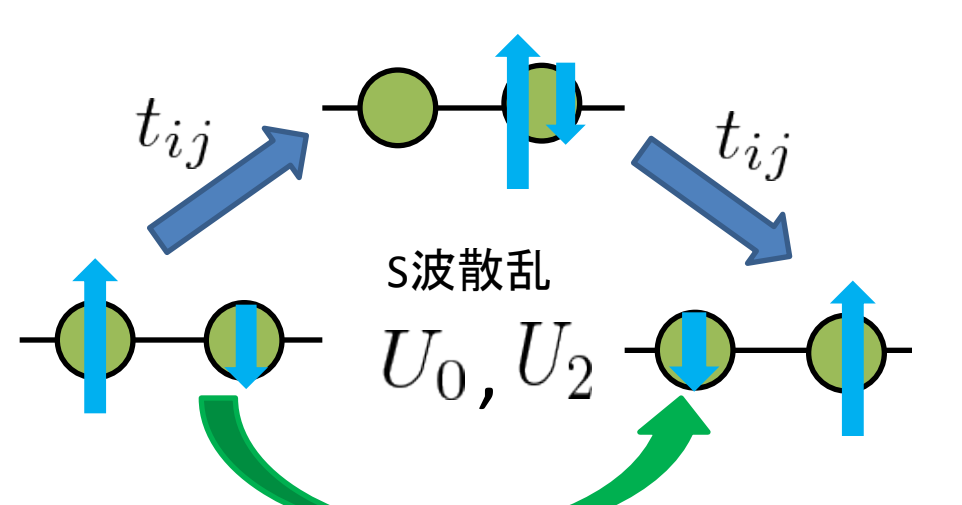
$$\mathcal{H} = -\sum_{\langle i,j \rangle} \sum_{\sigma = \pm 3/2, \pm 1/2} t_{i,j} (\psi_i^{\dagger} \psi_j + \text{h.c.}) + \sum_i \sum_{S=0}^4 \underline{U_S} \sum_{m=-S}^S P_{S,m,i}^{\dagger} \underline{P_{S,m,i}} \underline{P_{S,m,i}}$$

spin – 3/2 fermion atom operator

$$\hat{\psi} = (\hat{\psi}_{3/2}, \hat{\psi}_{1/2}, \hat{\psi}_{-1/2}, \hat{\psi}_{-3/2})$$

合計スピンがSの状態の fermion間相互作用

> 合計スピンがSの状態の 生成消滅演算子



各 site に 1 particle

$$U_0$$
 \leftarrow spin=0 の斥力

$$U_2$$
 \leftarrow spin=2 の斥力

$$\mathcal{H} = \sum_{\langle i,j \rangle} [a\vec{S}_i \cdot \vec{S}_j + b(\vec{S}_i \cdot \vec{S}_j)^2 + c(\vec{S}_i \cdot \vec{S}_j)^3]$$
 ←有効モデル

s=1/2 case

$$\mathcal{H} = J \sum_{\langle i,j \rangle} \hat{\mathbf{S}}_i \cdot \hat{\mathbf{S}}_j$$

fermion表示

$$\hat{\psi}_i = (\hat{\psi}_{i\uparrow}, \hat{\psi}_{i\downarrow})$$

$$\sum \hat{\psi}_{i\alpha}^{\dagger} \hat{\psi}_{i\alpha} = 1$$

$$\hat{S}_{i}^{a} = \frac{1}{2} \hat{\psi}_{i\alpha}^{\dagger} \sigma_{\alpha\beta}^{a} \hat{\psi}_{i\beta}$$

SU(2) 群は3個の生成子からなる

$$S^a = rac{1}{2} \sigma^a$$
 σ^a : Pauli matrices (a=1,2,3)

boson表示 (Schwinger boson)

$$\hat{b}_i = (\hat{b}_{i\uparrow}, \hat{b}_{i\downarrow})$$

$$\sum \hat{b}_{i\alpha}^{\dagger} \hat{b}_{i\alpha} = 1$$

$$\hat{S}_{i}^{a} = \frac{1}{2} \hat{b}_{i\alpha}^{\dagger} \sigma_{\alpha\beta}^{a} \hat{b}_{i\beta}$$

SU(2)対称性を持つS=1/2系

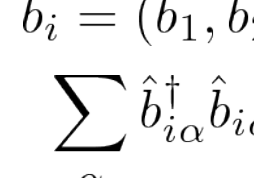


SU(4) 対称性を持つS=3/2系

Effective field theory for SU(4) AF spin model

コヒーレント状態の経路積分 反強磁性状態からのゆらぎを積分、(N=4)

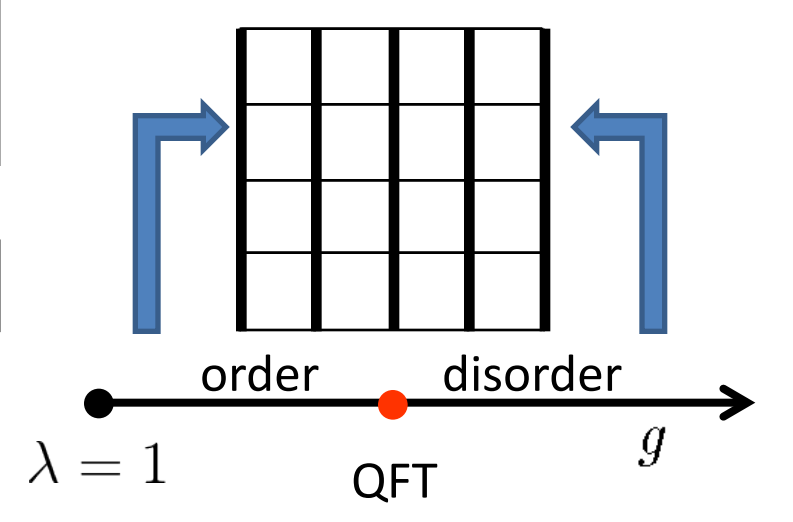
$$Z = \int \mathcal{D}\bar{z}\mathcal{D}z\mathcal{D}\sigma \exp\left(-\frac{N}{g}\int d^3x[|\partial_{\mu}z|^2 - |\bar{z}\partial_{\mu}z|^2 + \sigma(|z|^2 - 1)]\right)$$



異方的 (擬) 杂元的)

SU(4) Heisenberg model の有効場理論 としてCP³ model を導出した

$$g = \frac{1+\lambda}{\sqrt{2\lambda}}$$
 \rightarrow J の異方性に依存する



1/N展開法

••• 1/Nを摂動パラメータとして展開する 非摂動的手法

CP³ 変数



□ CP^{N-1} 変数 :4成分からN成分にする

1/N 展開法では2次相転移が予想される

I.Ya. Are'eva and S.I. Azakov, Nucl. Phys. B162, 298(1980)

MC 計算

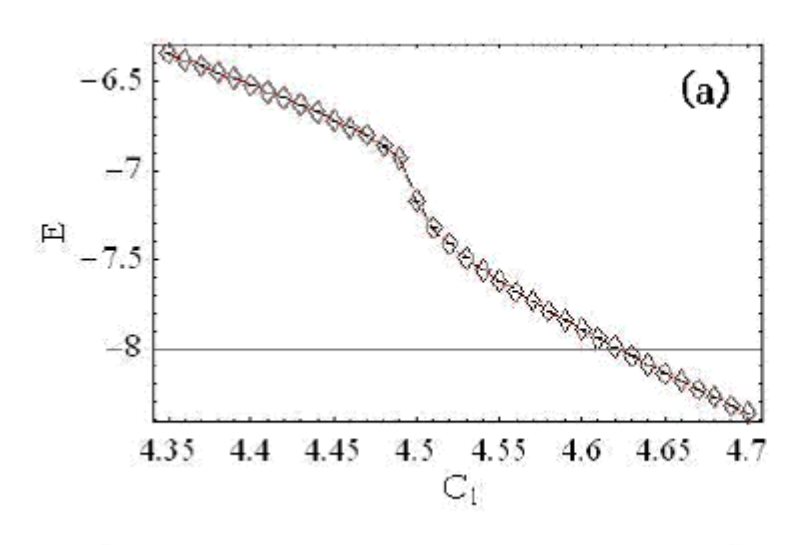
N=2, N=3 は2次転移である

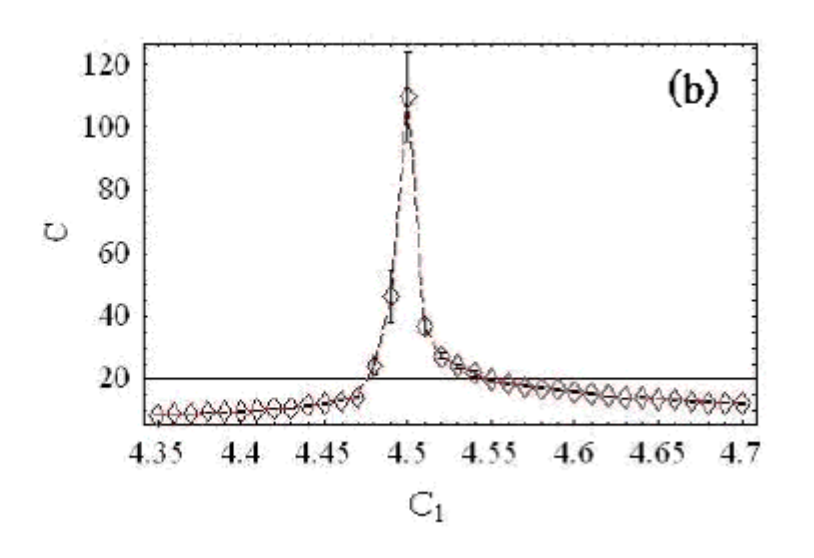
 $C_1 \equiv N/g$

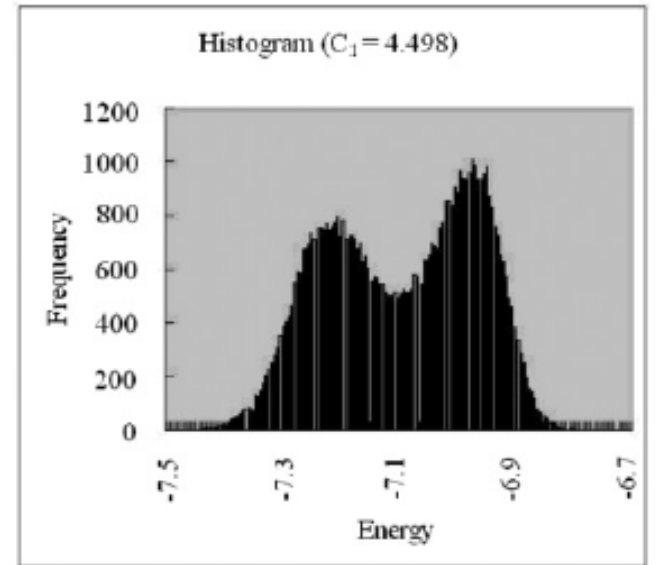
比熱 N=3 の結果 エネルギー (b) 30 ± (a) -5.5-5.7525 $_{\odot}^{-20}$ 田 -6.25 -6.515 -6.7510 3.9 3.5 3.6 3.7 3.8 3.6 3.7 3.8 3.5 3.9 \mathbf{c}_1 c_1

ところが、N=4 では

kataoka, Hattori & I.I, PRB 2011 Adam, Chalker, et.al., PRL 2011 arXiv.1308.0144







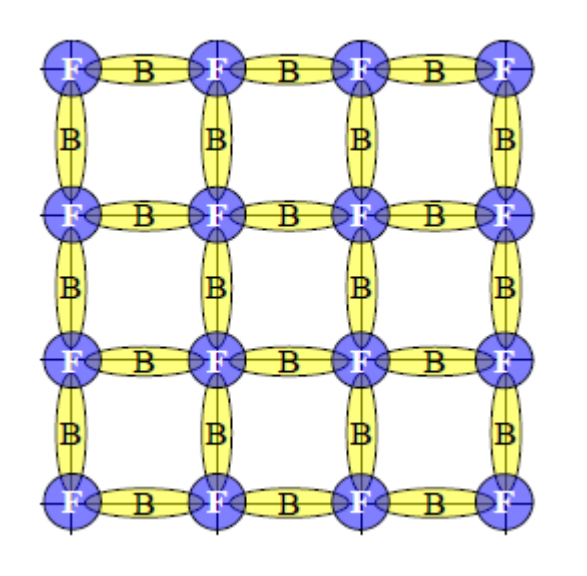
- エネルギー分布関数 1次転移である!!
- →1/N 展開は正しい答えを 出さない!(?)
- → 実験による検証!!

compact

3. Schwinger model ($cQED_2$)

格子ゲージ理論の量子シミュレーション(論文多数)

QCD, QED のセットアップ

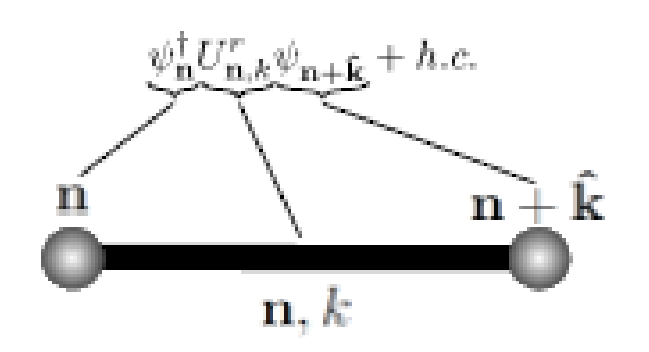


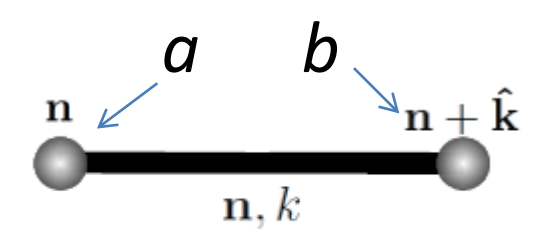
空間格子連続時間

Hamiltonian 形式

ボソン、フェルミオンの配置、光学格子で実現可能

☆ゲージ場の 量子シミュレーション





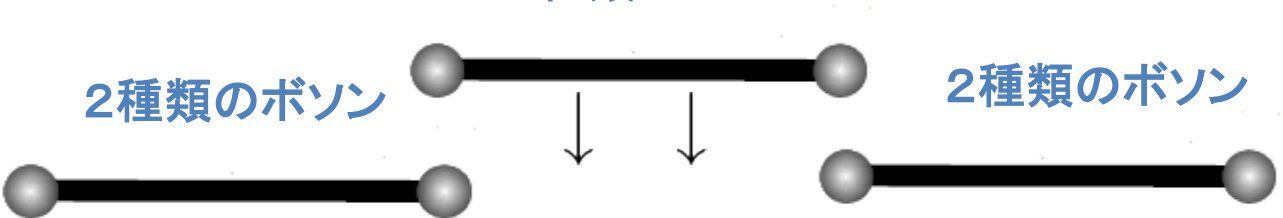
$$\psi_{\mathbf{n}} \to V_{\mathbf{n}}^r \psi_{\mathbf{n}}, \ U_{\mathbf{n},k}^r \to V_{\mathbf{n}}^r U_{\mathbf{n},k}^r V_{\mathbf{n}+\hat{\mathbf{k}}}^{r\dagger}$$

電場 $E_{\mathbf{n},k}, [E_{\mathbf{n},k}, U_{\mathbf{m},\ell}] = \delta_{\mathbf{n},\mathbf{m}} \delta_{k,\ell} U_{\mathbf{m},\ell}$

複合ゲージボソン・・・1つの link に``2種類"のボソン

$$L_{+}=a^{\dagger}b\leftrightarrow U,\ L_{-}=b^{\dagger}a\leftrightarrow U^{\dagger},$$
 $Lz=rac{1}{2}(a^{\dagger}a-b^{\dagger}b)\leftrightarrow E$ 粒子数の和一定 角運動量の大きさ一定

2種類のボソン



Quantum link model

☆Staggered fermion の量子シミュレーション

even site $\it c$ –atom $\it c_n$, odd site $\it d$ –atom $\it d_n$

mass term
$$H_M = M \sum_n (-1)^n \psi_n^{\dagger} \psi_n,$$

$$\psi_n = c_n (n \in \text{even}), \psi_n = d_n (n \in \text{odd}),$$

hopping term
$$H_P = \lambda \sum_n (\psi_n^{\dagger} L_{+,n} \psi_{n+1} + \text{h.c.})$$

各原子の角運動量のZ-成分を電荷と見なす・・・gauge symmetry

Zohar, Cirac, & Reznik, arXiv: 1303.5040

問題点

- 1. 角運動量のHilbert 空間は有限である v.s. U(1)ゲージ場のHilbert 空間は無限次元
- 2. L_+ は unitary 演算子ではない

$$\frac{L_{\pm}}{\sqrt{\ell(\ell+1)}} |\ell m\rangle = \sqrt{1 - \frac{m(m+1)}{\ell(\ell+1)}} |\ell, m \pm 1\rangle$$

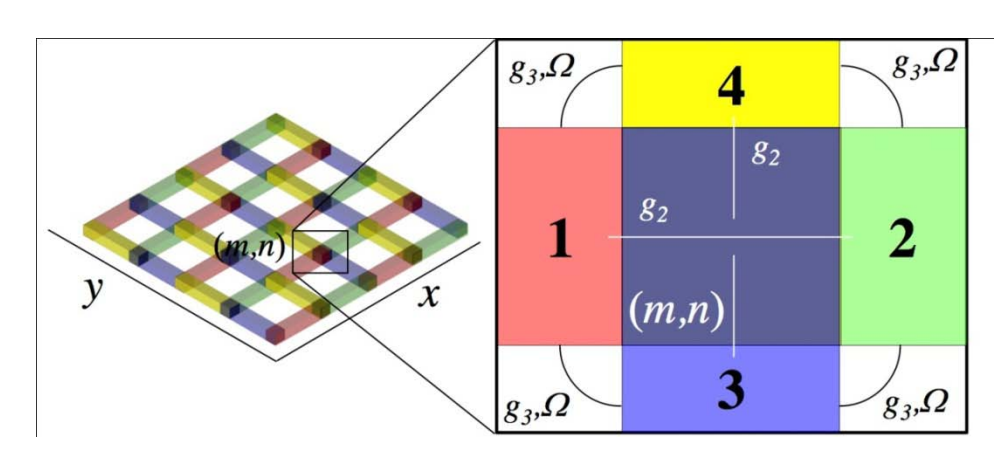
$$\to |\ell, m \pm 1\rangle \text{ for } \ell \to \infty, \quad (\ell = \text{total number/2})$$

3. mass, density の変化で相転移の可能性あり 実験でどのように見えるのか?

4.格子ゲージ理論: Gauge-Higgs model

♦BEC on link = compact U(1) gauge boson

E. Zohar and B. Reznik, Phys. Rev. Lett. 107, 275301 (2011). (他多数) K. Kasamatsu, I. Ichinose, and T. Matsui, arXiv:1212.4952, P.R.L. (in press)



4種類の BEC Ψ_k

 $\Omega = \text{Rabi effect}$

$$g_k = \text{interactions} \ (k = 1, \dots, 4)$$

$$H_{kl}(\mathbf{x}) = \Psi_k^{\dagger}(\mathbf{x}) \left[\delta_{kl} \left(-\frac{\nabla^2}{2m} + V_k(\mathbf{x}) \right) + \Omega_{kl} \right] \Psi_l(\mathbf{x}) + \frac{g_{lkl}}{2} \Psi_k^{\dagger}(\mathbf{x}) \Psi_l^{\dagger}(\mathbf{x}) \Psi_l(\mathbf{x}) \Psi_k(\mathbf{x})$$

振幅と位相の分離 $\hat{\Psi}_{ri} = \sqrt{\hat{\rho}_{ri}} \ e^{i\hat{\theta}_{ri}}$, $\hat{\rho}_{ri} = \rho_0 + \hat{\eta}_{ri}$ $\{\hat{\eta}_{ri}, \ \hat{\theta}_{ri}\}$, conjugate variables $\hat{\eta}_{ri}$ potential = 電場の項

Electric field

$$\hat{H}_{a} = \frac{1}{2\gamma^{2}} \sum_{r} \left(\sum_{i} \nabla_{i} \hat{\eta}_{ri} \right)^{2} + V_{0} \sum_{r, i}^{\downarrow} \hat{\eta}_{ri}^{2} + \hat{H}_{L} \left(\left\{ \hat{\theta}_{ri} \right\} \right)$$

$$\uparrow \qquad \uparrow$$

$$q_{k} - \text{terms}$$
Rabi terms

$$\hat{H}_{L}\left(\left\{\hat{\theta}_{ri}\right\}\right) = 2g'\rho_{0}\sum_{r,\ i < j}\left[\cos\left(\hat{\theta}_{ri} - \hat{\theta}_{rj}\right) + \cos\left(\hat{\theta}_{ri} + \hat{\theta}_{r+i,j}\right) + \cos\left(\hat{\theta}_{r+i,j} - \hat{\theta}_{r+j,\ i}\right) + \cos\left(\hat{\theta}_{rj} + \hat{\theta}_{r+j,\ i}\right)\right]$$

ここで $\gamma^2 \to 0$ \Rightarrow Gauss law (gauge inv.) の出現 fine tunning!

◇経路積分による Gauss law

$$\tilde{G} = \prod_{x} \exp\left[\left(-\frac{\Delta\tau}{2\gamma^{2}}\right)Q_{x}^{2}\right] \qquad Q_{x} \equiv \sum_{i} \nabla_{i}\eta_{xi}$$

$$\approx \int_{0}^{2\pi} \prod_{x} \frac{d\theta_{x4}}{2\pi} \exp\left(\frac{\gamma^{2}}{\Delta\tau} \cos\theta_{x4} - i\theta_{x4} \sum_{i} \nabla_{i}\eta_{xi}\right) \qquad \text{compact U(1)}$$

☆ 一般化されたAction $(\eta_{xi}$ 積分の実行)

$$Z_{a} = \int [dU] \exp(A_{I} + A_{P} + A_{L})$$

$$A_{I} = \sum_{x, \mu} c_{1\mu} \cos \theta_{x\mu},$$

$$A_{P} = \sum_{x, \, \mu < v} cos(\nabla_{\mu}\theta_{xv} - \nabla_{v}\theta_{x\mu}), \qquad \leftarrow \text{ plaquette 項}$$

$$A_{\mathbf{L}} = \sum_{x, \mu < v} c_{3\mu v} \left[\cos(\theta_{x\mu} - \theta_{xv}) + \cos(\theta_{x\mu} + \theta_{x+\mu, v}) + \cos(\theta_{x\mu} + \theta_{x+\mu, v}) + \cos(\theta_{x+\mu, v} - \theta_{x+\nu, u}) + \cos(\theta_{x\nu} + \theta_{x+\nu, u}) \right]$$

 $\gamma^2 \to 0$ limit —— gauge-inv. subspace

 γ^2 \hbar finite \longrightarrow

____ Gauge symmetry breaking → Higgs coupling と解釈出来る

 $Z_{\text{GH}} = \int [d\phi][dU] \exp(A'_{\text{I}} + A_{\text{P}} + A'_{\text{L}}) \qquad \Rightarrow \text{Higgs field } \phi_{x} = e^{i\varphi_{x}}$ $A'_{\text{I}} = \sum_{x, \mu} c_{1\mu} \cos(\varphi_{x} + \theta_{x\mu} - \varphi_{x+\mu}),$ $A'_{\text{L}} = \sum_{x, \mu < \nu} c_{3\mu\nu} \Big[\cos(\varphi_{x+\nu} + \theta_{x\mu} - \theta_{x\nu} - \varphi_{x+\mu}) + \cos(\varphi_{x} + \theta_{x\mu} + \theta_{x+\mu,\nu} - \varphi_{x+\mu+\nu})\Big]$

 $\cos\left(\varphi_{x+u} + \theta_{x+u,v} - \theta_{x+v,u} + \varphi_{x+v}\right) + \cos\left(\varphi_x + \theta_{xv} + \theta_{x+v,u} - \varphi_{x+v+u}\right),$

Higgs field の導入により厳密なゲージ不変性が現れる Gauge fixing により元の系に戻る

一般のU(1)ゲージ・ヒッグスモデル

$$Z_{\rm IL} = \int [d\phi][dU] \exp A_{\rm IL}(\{U_{x\mu}\}, \{\phi_x\}), \quad A_{\rm IL} = A_{\rm I} + A_{\rm L},$$

$$A_{\rm L} = \sum_{x,\mu<\nu} c_{3\mu\nu} \Big[\cos(\varphi_{x+\nu} + \theta_{x\mu} - \theta_{x\nu} - \varphi_{x+\mu}) + 3 \text{ terms} \Big].$$

$$A_{\rm IL} = c_{1\mu} \stackrel{\phi_x}{\longleftarrow} \stackrel{\bar{\phi}_{x+\mu}}{\longleftarrow} + c_{2\mu\nu} \stackrel{\bar{\phi}_{x+\mu}}{\longleftarrow} + c_{3\mu\nu}$$

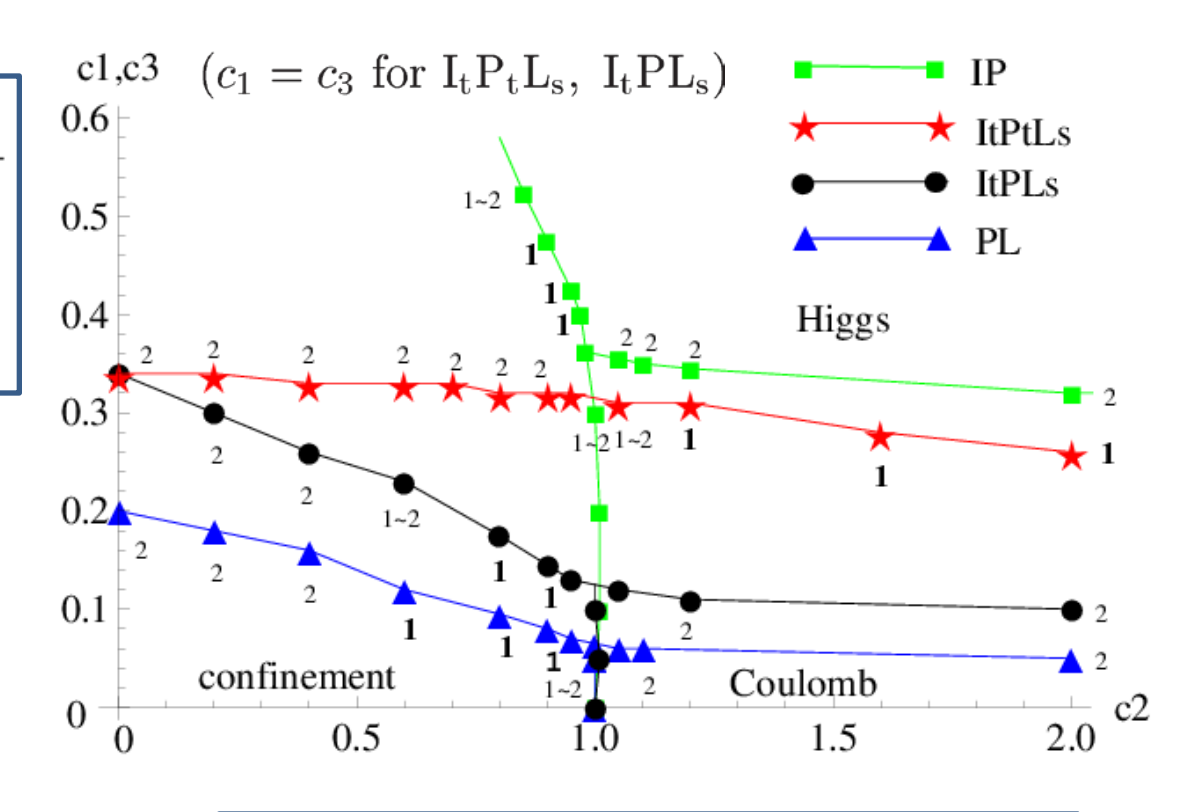
 c_{1i} 項の生成: スピン多重項 (a_{ri}, ψ_{ri}) をもつ原子による結合 $\hat{H}_{a\psi} = \kappa \sum_{ri} \hat{a}_{ri}^{\dagger} \hat{\psi}_{ri} + \text{H.c.}$ もし \hat{a}_{ri} が十分高温で BEC すると \hat{a}_{ri} は ψ_{ri} に対する BEC reservoir: $\hat{H}_{a\psi} \to \sum_{r,i} c_{1i} \cos \theta_{ri}$ ($c_{1i} = 2\kappa |\langle a_{ri} \rangle| \sqrt{\rho_o}$).

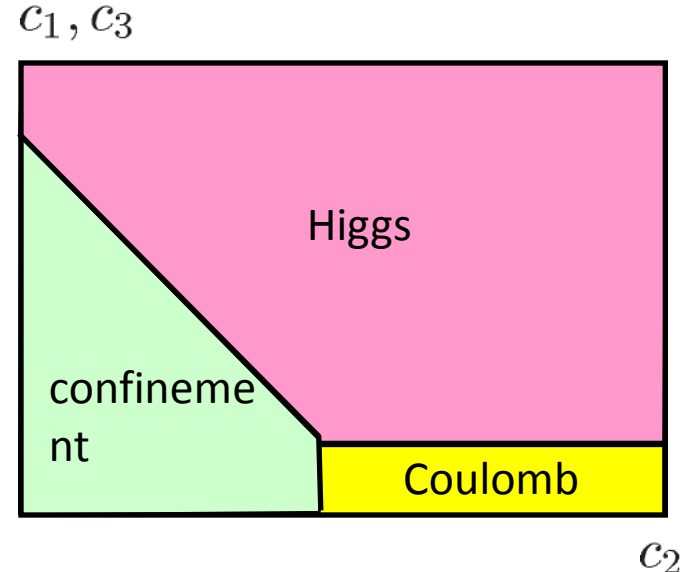
A. Recati, et al. Phys. Rev. Lett. 94, 040404 (2005)

U(1)ゲージ・ヒッグスモデルの相構造

	٩	
	1	
	1	
	1	

Model		c_{14}	c_{1i}	c_{2i4}	c_{2ij}	c_{3i4}	c_{3ij}
IP		c_1	c_1	c_2	c_2	0	0
ItPtLs	*	c_1	0	c_2	0	0	c_3
ItPLs	•	c_1	0	c_2	c_2	0	c_3
PL		0	0	c_2	c_2	c_3	c_3





U(1)LGT $(c_1, c_3 = 0)$ では confinement, Coulomb 相が実現。 ゲージ対称性を破る項 $(c_1, c_3$ 項) があっても Higgs 相にならない限り 破れの効果は本質的でない

U(1)ゲージ・ヒッグスモデルの相と密度分布

相	$\langle \phi_x \rangle$	$\langle U_{x\mu} \rangle$	V(r)
Higgs	≠ 0	≠ 0	$\frac{e^{-mr}}{r}$
Coulomb	~0	≠ 0	$\frac{1}{r}$
confinement	~0	~0	r

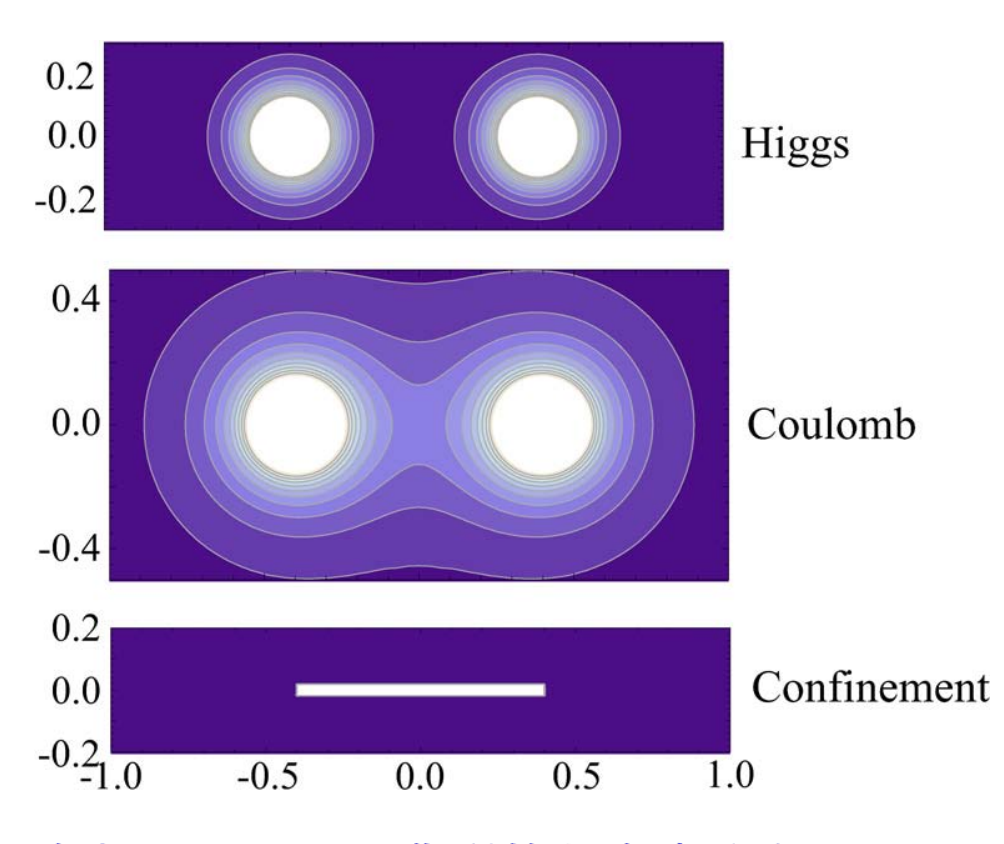
Higgs 相, Coulomb 相 ↔BEC

static source = 光学格子potential の 変形

位相の測定も可能か?
・・・ 磁場の測定

電場の測定

原子密度 $\hat{\psi}_{ri}^{\dagger}\hat{\psi}_{ri} = \rho_0 + \hat{\eta}_{ri}, \ \hat{\eta}_{ri} = -\hat{E}_{ri}$



各相での原子の典型的な密度分布 $\Delta \rho_r = (\sum_i \eta_{ri}^2/3)^{1/2} \ (白: \Delta \rho_r \to \Xi)$

5. まとめと将来の展望

- 1. 実験技術の向上により、提案された種々の格子モデルは実現可能となるであろう。
- 2. ゲージ理論としてはgauge-Higgs model が最初か?
- 3. Local gauge symmetry 実現への良いidea 募集
- 4. 実験的には温度のコントロールが望まれる
- 5. 時間とともに起る量子相転移の観測の期待
- 6. 有限密度 gauge-fermion系の実現